

広島大学工学部 正 綱子 春夫
広島大学工学部 正 吉田 幸
広島大学工学部 正 中堂 裕文

1. まえがき

三軸試験による圧密の解析には Silveira の外方向放射流れによる圧密の解析よく利用されているが、これは Terzaghi の熱伝導型圧密方程式を解いたものである。この圧密方程式の最大の難点は、この方程式がどのような変形条件あるかは境界の応力条件のもとに成立するのかどうか未だ不明なことにあつた。従ってこの方程式による圧密の解析もその意味を持たない。この点に関して Terzaghi の理論の修正といつていくつかの方程式が提案され解り与えられてはいるが、いずれもその手法に専門性を欠いてはいるようと思われる。それは三次元における変形の問題が正しく考慮に入れられて解析を行はれてはならないことである。本論文では変形条件を考慮に入れた軸対称放射流れの場合の圧密方程式を導き、その解を三軸試験による圧密の解析に便利な形で与えるとともに、三次元の圧密の計算に必要な諸定数決定の方法を提案している。

2. 平面変形条件のもとでの軸対称放射流れによる圧密方程式

三軸試験における円柱供試体の周面より排水する。各境界面は圧密中、常にもとの面上平行を保つように変位するものとする。従って境界面上には直応力のみが作用せしん断力は働かない。このような変形条件を平面変形条件と呼ぶことにする。この変形条件のもとでは圧密支配方程式は次のようになる。⁽¹⁾

$$\frac{\partial u}{\partial t} = C D^2 u + \frac{\partial \psi}{\partial t} \quad (1)$$

$$\operatorname{grad} \psi = 0 \quad \text{たゞ} \quad \psi = (\lambda + 3\mu) e + u \quad (2)$$

またこのような変形条件のもとでは構成内部のあらゆる部分や、圧密過程中、主応力の方向は変化しないので、応力の一つ合意条件式からせん断力の項は消去できる。従って二方向式つゝては境界にかかる荷重を置くこと、荷重を合意条件式に取り入れる。

$$P_r = \sigma_r + u \quad (r: \text{有効応力})$$

フック則より

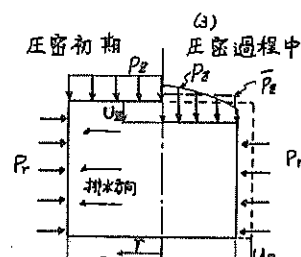
$$\sigma_r = (\lambda + 3\mu) e - 3\mu (e_r + e_\theta) \quad (4)$$

$$(3) \text{ と } (4) \text{ より} \quad P_r = (\lambda + 3\mu) e + u - 3\mu (e_r + e_\theta) \\ = \psi - 3\mu (e_r + e_\theta) \quad (5)$$

この変形条件のもとで導き得る二軸方向の荷重とその面上における平均値といつてはしむる。で、上式を平均値で表わすと、(2)より

$\operatorname{grad} \psi = 0$ を考慮に入れるば次式を得る。

$$\bar{P}_r = \psi + 4\mu \left(\frac{U_r}{R} \right) \quad (6) \quad \frac{\partial U_r}{\partial r} = \frac{\partial U_r}{\partial \theta} = 0, \frac{\partial U_r}{\partial z} = 0$$



次に半径方向の荷重条件によっては、 $\gamma = R$ における

$$P_r = \sigma_r + u$$

として応力～垂れ角関係を導き出せば

$$\begin{aligned} P_r &= (\lambda + 3\mu) e + u - 3\mu(E_e + E_0) \\ &= \gamma - 3\mu(E_e + E_0) \end{aligned}$$

$$r = R \text{ における } E_0 = -U_R/R \text{ より, て上式は}$$

$$P_r = \gamma - 3\mu E_e + 3\mu(U_R/R) \quad (7)$$

最後に(2)の条件式において、 γ が $\gamma = \text{grad } \varphi = 0$ を満足するから全体の平均値を表わしてもよい。

従って

$$\gamma = (\lambda + 3\mu) \bar{e} + \bar{u} = (\lambda + 3\mu) \bar{E}_e - 2(\lambda + 3\mu)(U_R/R) + \bar{u} \quad (8)$$

これを得た後、(1), (2), (3)を図中の変位あるいは応力を与えられたる境界条件によって検討し、それを境界条件満足によりて表わして(1)式に代入すれば所要の圧密方程式が得られる。

三軸試験における放射流水による圧密問題として考えられる次の三つの Case について取扱う。それぞれの境界条件、排水条件、圧密過程中の変形の進歩を等は図に示すヒュアリである。

(a) 外向3方向射流水による K_0 -圧密

境界 $r = R$ における変位 $U_R = 0$ であるから、(6)式より

$$\gamma = \bar{P}_z \quad (10)$$

従って圧密方程式は次式のようになる。

$$\frac{\partial u}{\partial t} = C D^2 u + \frac{d\bar{P}_z}{dt} \quad (11)$$

また式(7), (8)より次の関係も得る。

$$P_r = \bar{P}_z - 3\mu E_e, \quad E_e = \frac{3\mu}{\lambda + 3\mu} (\bar{P}_z - \bar{u}) \quad (12)$$

(b) 等方圧密

境界における荷重条件は $P_r = \bar{P}_z = P$ と(式(6), (7), (8)より)次式を得る。

$$\gamma = \frac{3(\lambda + 3\mu)}{3\lambda + 2\mu} P - \frac{4\mu}{3\lambda + 2\mu} \bar{u} \quad (13)$$

従って圧密方程式は

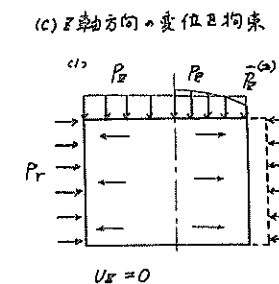
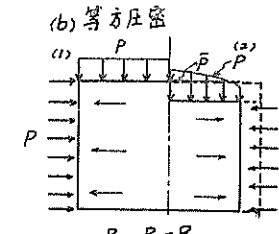
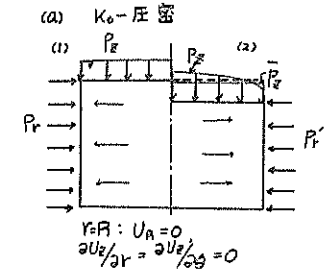
$$\frac{\partial u}{\partial t} = C D^2 u + \frac{3(\lambda + 3\mu)}{3\lambda + 2\mu} \frac{dP}{dt} + \frac{3(\lambda + 2\mu)}{3\lambda + 2\mu} \frac{d\bar{u}}{dt} \quad (14)$$

また次の関係も得る

$$E_e = -\frac{U_R}{R} = \frac{2\mu}{\lambda + 3\mu} (P - \bar{u}), \quad \bar{e} = \frac{3}{3\lambda + 2\mu} (P - \bar{u}) \quad (15)$$

(c) \bar{e} 方向の変位を拘束し半径方向の変位のみ考慮する圧密

境界条件として $U_R = 0$ 及び排水条件を考慮すると $E_e = 0$ すなわち(6), (7), (8)より次の関係が求まる。



各図の(1)は圧密初期、(2)は圧密期間中。

図-2

$$\psi = \frac{\lambda + 3\mu}{\lambda + \mu} Pr - \frac{\mu}{\lambda + \mu} \bar{u} \quad (16)$$

$$\frac{U_R}{R} = \frac{1}{2(\lambda + \mu)} Pr + \frac{1}{2(\lambda + \mu)} \bar{u}, \quad \bar{P}_z = \frac{\lambda}{\lambda + \mu} Pr + \frac{\mu}{\lambda + \mu} \bar{u} \quad (17)$$

(16)式を(1)式に代入すると圧密方程式が求まり

$$\frac{\partial U}{\partial t} = C D^2 U + \frac{\lambda + 3\mu}{\lambda + \mu} \frac{d Pr}{dt} - \frac{\mu}{\lambda + \mu} \frac{d \bar{u}}{dt} \quad (18)$$

3. 計算方法

無次元化した値を得るために次のような置換を行なう。

$$T = (Cv/R^2) t, \quad \beta = r/R, \quad U = u/P \quad (19)$$

定荷重のまゝでは (11), (14), (18) の各式中の荷重の項は消える。さらに Lame の定数のかわりに、せん断定数ヒヤソニ比 E 用ひると、三つの方程式は定荷重のまゝでは次のようになる。

$$\frac{\partial U}{\partial T} = P_p^e U - d \frac{d U}{dT} \quad (20)$$

- (a) K_0 - 圧密 $d = 0$
- (b) 等方圧密 $d = 2(1-2\nu)/(1+\nu) \quad 0 \leq d \leq 2$
- (c) U_0 を拘束 $d = 1-2\nu \quad 0 \leq d \leq 1$

従って (20) 式はヒヤソニ比 ν ($0 \leq \nu \leq 1/2$) で n つ

ラメー γ として求まる。数値計算法としては

差分法を用ひた。差分間隔 $\Delta T = 1/40$,

$$\Delta U/\Delta T = 1/5$$
 で計算。

4. 計算結果。計算結果を図に表わしたもの
が図-3～5 である。図-3 はいくつかの
ひにわたる中心における間ヶキ水压の変化と
時間経過にわたって描いたもので、すでに Casyer
によって示された他の圧密の場合と同じく、圧
密進行中ある直りで間ヶキ水压の増加がみら
れる。ここで γ メータとして圧密度～時間係
数を描いたものが図-4、圧密度 γ メータ
として $\gamma \sim \log T$ 曲線を表わしたもののが図-5
である。表の利用方法は、例えば (c) の試験
を行ひて U_R ～ t の実際を求める。同時に
圧密度を測定しておけば最終状態の \bar{u} 、 U_R より
弾性定数 μ を計算できる。この μ 、 ν よ
り (c) の場合の d を計算し図-5 よりそのひに
わたる圧密係数 γ を下記であれば圧密度
50% の曲線より読み出せばよい。この

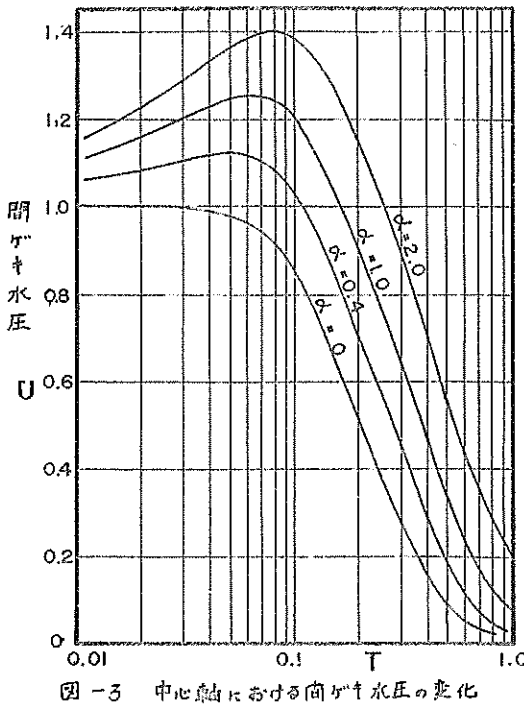


図-3 中心軸における間ヶキ水压の変化

$T_{0.05}$ び試験結果より得られた式を用いて圧密係数を決定する事ができる。

5. まとめ。

限られた変形条件のもとではあるが、三軸試験による圧密の解析に便利な形で、変形歪形度に入らぬ解が得られた。土は弾性体であるとの仮定のもとに得られたものであるが、土の非弾性挙動と研究するためにもその前段階として役に立つものと思う。例えは(C)の試験を行なって Silveira の解より求めた C_0 は $\nu = 0.25$ の時たゞこの計算値より求めたものの約 60% の値となることになる。今後の試験結果の解析にこの表が利用されれば喜りである。

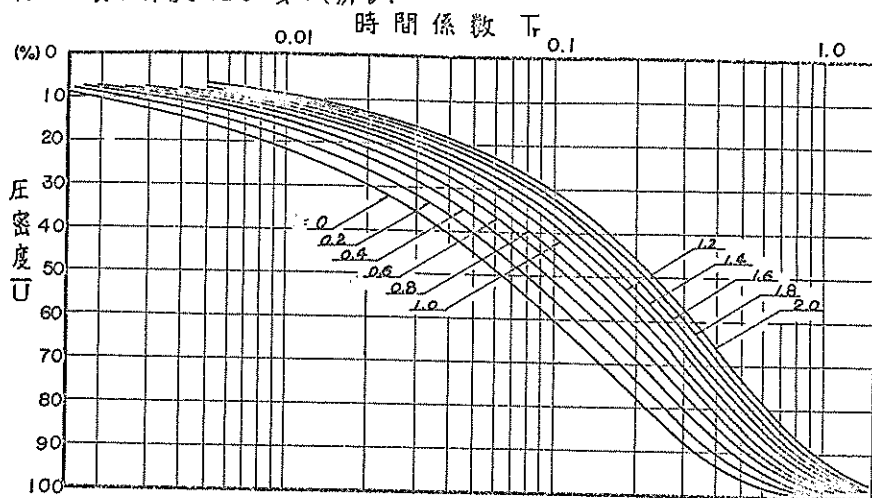


図-4 むきパラメータとした $U - Tr$ 曲線

(1) K_0 -圧密 $d=0$ (2) 算定圧密 $d=\frac{2(1-2\nu)}{1-\nu}$ (3) \pm 方向の変位を拘束し
半径方向の変位のみを許した圧密 $d=1-2\nu$ ν : フラッヒ比

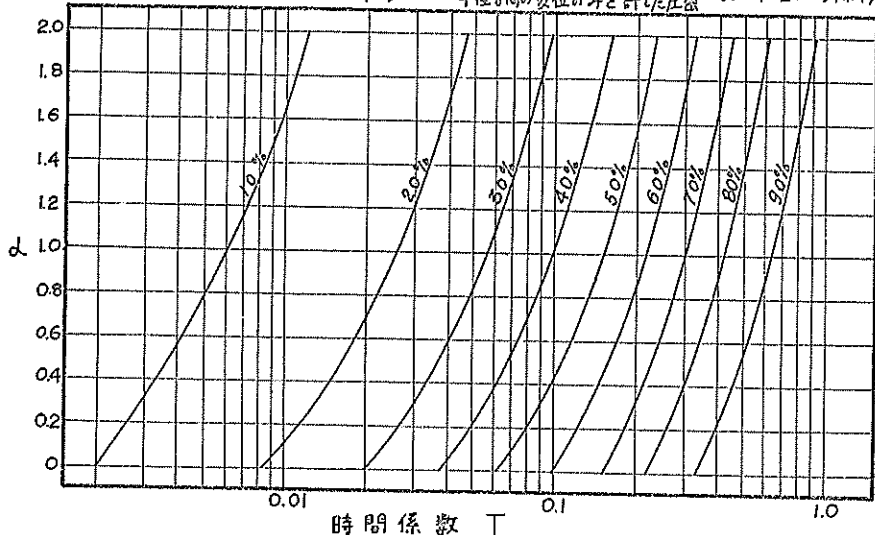


図-5 圧密度をパラメタとした $d - T$ 曲線

a) Terzaghi の圧密方程式が内蔵する変形条件: 吉岡洋 1976 国土学会年次講演会